# **Исследование покрытий имплантационных** материалов на биосовместимость

В.И. Зеленский, аспирант кафедры стоматологии общей практики и детской стоматологии

Ал. Ал. Долгалев, д.м.н., доцент кафедры стоматологии общей практики и детской стоматологии

Н.Н. Диденко, аспирант кафедры патологической физиологии

А.В. Дмитриенко, студент стоматологического факультета

Ю.Р. Есенеев, студент стоматологического факультета

У.Р. Курбанова, студент стоматологического факультета

ГБОУ ВПО «Ставропольский государственный медицинский университет» Минздрава России, г. Ставрополь

# Research of coatings of implantation materials for biosmatibility

V.I. Zelensky, N.N. Didenko, Al. Al. Dolgalev, A.V. Dmitrienko, Yu.R. Eseneeev, U.R. Kurbanova Stavropol State Medical University, Stavropol, Russia

Резюме

Показаны достоверные различия биосовместимости фибробластов, культивированных в присутствии образцов титановых сплавов, поверхность которых была обработана различными способами.

КЛЮЧЕВЫЕ СЛОВА: имплантат, остеоинтеграция, клеточные культуры, куриные эмбрионы, босовместимость, магнетронная обработка.

Summary

Significant differences in the biocompatibility of fibroblasts cultured in the presence of samples of titanium alloys, the surface of which was processed in various ways, are shown.

Key words: implant, osseointegration, cell cultures, chicken embryos, bocompatibility, magnetron processing.

### Введение

Изменение микро- и наностуктуры поверхности имплантата является ключом к оптимальной остеоинтеграции [1]. При этом в доступной литературе практически отсутствуют исследования по изучению влияния различных видов поверхности для имплантата на клетки и ткани, с которыми контактирует та или иная поверхность данного имплантата [2].

**Целью нашего исследования** было изучение жизнеспособности и уровня АТФ фибробластов, культивированных в присутствии образцов титановых сплавов, поверхность которых была обработана различными способами, а также предварительная оценка эмбриотоксичности на модели развивающегося куриного эмбриона.

# Материалы и методы

В работе использован метод магнетронного напыления, который широко применяется в вакуумной технологии для нанесения покрытий из различных материалов. Установка магнетронного распыления позволяет получать покрытия практически из любых металлов, сплавов и полупроводниковых материалов

без нарушения стехиометрического состава. В качестве рабочего газа мы использовали высокочистый аргон 99,999%. Источником материала покрытия являлась мишень, представляющая собой конструкцию из особо чистого титана (99,99%).

Нанесение титановых покрытий проводилось при температуре титановых шайб 150 °C и мощности магнетронного напыления 200—300 Вт. После нанесения титановых покрытий образцы подвергались вакуумной термообработке при температуре 450 °C в течение 2 часов.

Исследования морфологии поверхности титана проводились с использованием атомно-силовой микроскопии на установке компании NT-MDT Solver Next.

Первичные культуры фибробластов, полученные из 9-дневных куриных эмбрионов, культивировали в стандартных условиях в СО<sub>2</sub>инкубаторе Multitron Cell (INFORS HT) при температуре 37 °C в среде DMEM с 5 %-ной эмбриональной телячьей сывороткой в пластиковых культуральных флаконах 25 см². На третьем пассаже клетки высевались в 24-луночные планшеты по 3 × 10<sup>4</sup> клеток на лунку. По достижению 70-80%-ной конфлюентности монослоя в лунки помещали образцы исследуемых материалов.

Оценку жизнеспособности и уровня АТФ проводили через 24 и 48 часов культивирования в присутствии исследуемого образца. Проводился люминесцентный анализ АТФ с использованием ATPlite 1 step (Perkin Elmer) при помощи Cytation 1 (BioTek). Подсчет клеток и уровня их жизнеспособности проводился при помощи автоматического счетчика клеток Louna.

Исследование проводилось согласно методике Ercan Durmus et al. (2004) в некоторой ее модификации. Для исследования предварительно обеззараженные в сухожаре FD 115 (Binder, Германия) образцы в асептических условиях были помещены в стерильные пробирки (эппендорфы), содержащие 0,5 мл стерильного физиологического раствора с добавлением пенициллина (125 МЕ/мл), стрептомицина (125 мкг/ мл) и гентамицина (10 мкг/мл) (рис. 1). Образцы подвергались воздействию растворов в течение 172 часов при 37 °C в шейкер-инкубаторе ES-20/60 (Biosan, Латвия).

Затем проводилась оценка эмбриотоксичности полученных растворов. Использовались оплодотворенные

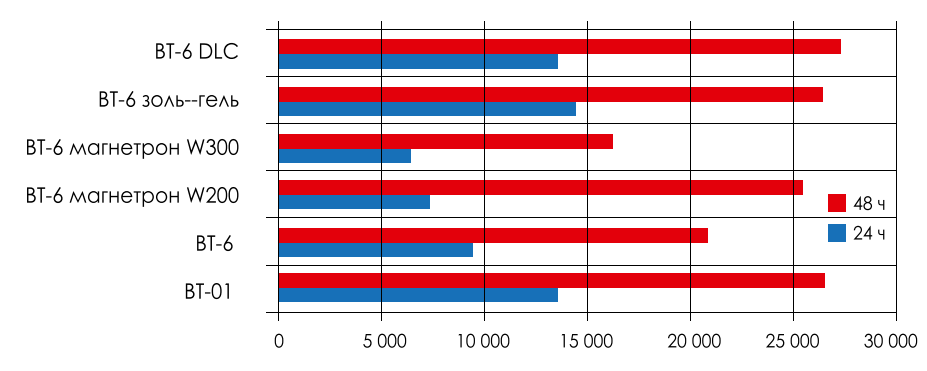


Рисунок 1. Динамика уровня АТФ в культивируемых клетках в течение 48 часов после внесения образцов исследуемых материалов (в относительных единицах люминесценции).



Рисунок 2. Введение исследуемого раствора в воздушный мешок яйца.

куриные яйца беспородных кур, закупленные в местном птицеводческом хозяйстве.

Яйца взвешивались и делились на семь групп, каждая из которых содержала 10 яиц.

Введение исследуемых растворов осуществляли непосредственно перед закладкой яиц в инкубатор в стерильном боксе в ламинарно-потоковом шкафу LVC-6A (ESCO) с соблюдением правил асептики.

Инъекции растворов проводили в воздушный мешок яйца после предварительной обработки скорлупы раствором спирт-йода. Отверстие для инъекции просверливалось с помощью минидрели и набора предварительно дезинфицированных сверл диаметром 0,6 мм. Введение растворов в количестве 40 мкл осуществляли с помощью инсулинового шприца (рис. 2).

После инъекции отверстия запечатывались расплавленным парафином. Затем яйца помещались в инкубатор ИЛБ-0,5 (Россия). Поддерживались стандартные условия инкубирования (65% относительной влажности, 38,0 °C). Развитие эмбрионов кон-

Результаты люминесцентного анализа уровня АТФ в культивируемых клетках через 24 часа после внесения образцов исследуемых материалов (в относительных единицах люминесценции)

BT 1-0	13573
BT-6	9517
ВТ-6 магнетрон W200	7352
ВТ-6 магнетрон W300	6401
ВТ-6 золь-гель	14444
BT-6 DLC	13568

Таблица 2
Результаты люминесцентного
анализа уровня АТФ в культивируемых
клетках через 48 часов после
внесения образцов исследуемых
материалов (в относительных единицах
люминесценции)

BT 1-0	26648
BT-6	20915
ВТ-6 магнетрон W200	25482
ВТ-6 магнетрон W300	16291
ВТ-6 золь-гель	26473
BT-6 DLC	27308

тролировалось при помощи овоскопа ПКЯ-10 («Ветзоотехника», Россия).

Инкубируемые яйца вскрывались на 12-й и 38-й дни инкубации.

С помощью лабораторных весов ВЛТЭ-150 («Госметр», Россия) определялась масса яиц и эмбрионов. Рассчитывалась относительная масса эмбрионов.

Эмбриональные стадии развития определяли по шкале Гамбургера-Гамильтона (V. Hamburger, H. L. Hamilton, 1951). Учитывали число мертвых, живых эмбрионов, с задержкой развития.

Все полученные результаты НИР подвергались статистической обра-

ботке с помощью критерия Стьюдента. Вычисления производили с использованием программы Biostat 4.03.

Исследование осуществлено в рамках государственного задания Минздрава России для Ставропольского государственного медицинского университета по осуществлению научных исследований и разработок по теме: «Разработка наноструктурированных поверхностей внутрикостных дентальных имплантатов».

# Результаты и обсуждение

Исследовано влияние технологических режимов напыления на морфологию и шероховатость поверхности полученных титановых покрытий. Обнаружено, что увеличение мощности распыления (от 200 до 300 Вт) приводит к значительному изменению структуры, что сопровождается измерением размера зерен и, как результат, шероховатости поверхности титановых покрытий.

Результаты исследований показали, что магнетронная обработка изделия химически чистым титаном позволяет создать наноструктурированную поверхность, связанную с подложкой на атомарном уровне, морфология которой на наноуровне изменяется в зависимости от мощности излучения; Последующая термическая обработка (до 450 °C) не приводит к существенным изменениям морфологии поверхности образца, профиля неоднородности и ее гранулярности. При магнетронной обработке поверхности алюминиево-ванадиевого сплава титана ВТ6 химически чистым титаном элементный состав модифицированной поверхности соответствовал составу титана ВТ1-0 (отмечаются полное отсутствие ванадия и незначительные примеси алюминия).

Результаты оценки уровня АТФ через 24 и 48 часов представлены в табл. 1 и 2 соответственно.

По истечении 48 часов наибольшим уровнем АТФ обладали клетки, культивированные в присутствии образца материала ВТ-6 DLC. При этом уровень АТФ в клетках, культивированных в присутствии образца материала ВТ-6 DLC, достоверно не отличался от уровня АТФ в клетках, культивированных в присутствии образца материала ВТ-01 (t=0.07; p>0.5).

Наибольшая положительная динамика уровня АТФ за вторые сутки показана у клеток, культивированных в присутствии образца материала ВТ-6, магнетрон W200 (+246,6).

При анализе жизнеспособности клеток наибольший ее уровень также показан у клеток, культивированных в присутствии образца материала ВТ-6 DLC (табл. 3).

Полученные результаты и их статистический анализ приведены в табл. 4.

Средние значения абсолютной и относительной масс эмбрионов на 12-е сутки инкубации не претерпели статистически значимых отличий между экспериментальными группами. На 18-е сутки инкубации названные параметры также не имели достоверных отличий.

Извлеченные на 18-е сутки эмбрионы во всех экспериментальных группах соответствовали этапу развития HH-44 по шкале Hamburger-Hamilton. Однако следует отметить, что в группе № 2 отмечался случай задержки роста эмбриона (рис. 3).

Группы № 1 и 2 характеризовались некоторой тенденцией к увеличению смертности эмбрионов. Причем в от-

Таблица 3 Результаты анализа жизнеспособности культивируемых клеток через 24 и 48 часов после внесения образцов исследуемых материалов

	Через 24 часов, %	Через 48 часов, %
BT-1-0	83	82
BT-6	65	62
ВТ-6 магнетрон W200	51	60
ВТ-6 магнетрон W300	54	63
ВТ-6 золь-гель	74	77
BT-6 DLC	83	85





А
Рисунок 3. Куриный эмбрион на 18-е сутки развития. А — нормальное развитие (группа № 7);
Б — задержка развития (группа № 2).

Таблица 4 Проявление основных характеристик эмбриотоксичности в исследуемых группах

Группа (n = 10)	Количество неоплодотворенных яиц	Количество мертвых эмбрионов	Средняя масса яиц, г	Абсолютная масса эмбрионов на 12-е сутки инкубации, г	Относительная масса эмбрионов на 12-е сутки инкубации, $\%$
1	1	2	53,88 ± 1,31	3,89 ± 0,17	7,20 ± 1,08
2	1	2	56,98 ± 1,48	3,98 ± 0,57	6,91 ± 1,43
3	1	1	52,76 ± 1,39	3,66 ± 0,46	7,01 ± 0,87
4	1	1	53,28 ± 1,33	3,75 ± 0,38	7,15 ± 1,11
5	-	-	54,31 ± 1,36	3,76 ± 0,34	6,98 ± 0,96
6	-	1	55,86 ± 1,39	3,88 ± 0,36	6,93 ± 0,99
7	1	-	53,97 ± 1,34	3,94 ± 0,18	$7,28 \pm 0,87$

Таблица 5 Характеристика смертности эмбрионов в соответствии со сроком инкубации

Группа (n = 10)	Количество мертвых эмбрионов	Этапы развития по шкале Hamburger–Hamilton							
		HH 1–6	НН 7–13	HH 14–19	HH 20-25	HH 26-31	HH 32–37	HH 38-43	НН 44–46
1	2	1	-	-	-	-	1	-	-
2	2	1	-	-	-	-	1	-	-
3	1	1	-	-	-	-	-	-	-
4	1	1	-	-	-	-	-	-	-
5	-	-	-	-	-	-	-	-	-
6	1	1	-	-	-	-	-	-	-
7	-	-	-	-	-	-	-	-	-





А В Рисунок 4. Случаи замерших куриных эмбрионов в группах № 1 (A) и № 2 (Б) на этапах развития НН 32–37.

личие от других групп, в названных в соответствии со шкалой Hamburger-Hamilton встречались замершие эмбрионы, соответствующие уровню развития НН 32–37 (табл. 5; рис. 4).

# Заключение

Таким образом, клетки, культивированные в присутствии об-

разца титано-ванадиевого сплава BT-6 с поверхностью, полученной при магнетронной обработке W200, обладают вторым по показателям уровнем метаболизма и жизнеспособности, сравнимыми с показателями, полученными для образцов титановых сплавов BT1-0. Исследовались растворы (экстракты) ма-

териалов на модели развивающегося куриного эмбриона. Согласно полученным данным выявлена некоторая тенденция к увеличению смертности эмбрионов под влиянием образцов № 1 и 2. Под влиянием образцов № 2 зарегистрированы также единичные случаи задержки развития.

# Список литературы

- Долгалев А. А., Зеленский В. А., Амхадова М. А., Бойко Е. М., Брусницын Д. А. Опыт применения отечественных ксеноматериалов для направленной костной регенерации в дентальной имплантации. Медицинский алфавит. 2017; 11 (308): 13–17.
- Smeets R., Stadlinger B., Schwarz F., Beck-Broichsitter B., Jung O., Precht C., Kloss F., Gröbe A., Heiland M., Ebker T. Impact of Dental Implant Surface Modifications on Osseointegration. Biomed Res Int. 2016; 2016: 6285620. doi.org/10.1155/2016/6285620.
- Durmus E., Inan Ö., Çelik I., Sur E., Özkan Y., Acar A. & Aydin M.F. (2004). Use of the fertilized hen's egg in the evaluation of embryotoxicity of dental alloys. Journal of Biomedical Materials Research Part B: Applied Biomaterials, 72B (2), 322–327. doi: 10.1002/ibm.b.30154.
- Hamburger V, Hamilton HL. A series of normal stages in the development of the chick embryo. J Morphol 1951; 88: 49–92.

**Для цитирования.** Зеленский В.И., Долгалев Ал. Ал., Диденко Н.Н., Дмитриенко А.В., Есенеев Ю.Р., Курбанова У.Р. Исследование покрытий имплантационных материалов на биосовместимость // Медицинский алфавит. Серия «Стоматология».— 2019.— Т. 2.— 11 (386).— С. 29–32.



CRIMEASTOMATOLOGIYA | EXPORCTAKK.RU

7 (978) 742-11-92 | WWW.CTAKK.RU

ОРГАНИЗАТОР

РОСТ ЭКСПО

гоматология

ГЕНЕРАЛЬНЫЙ ПАРТНЕР

H.CEAAA